

# ЭВОЛЮЦИЯ НЕУСТОЙЧИВЫХ КОНФИГУРАЦИЙ МАГНИТНОГО ПОЛЯ В ЗАДАЧЕ ДИНАМО СРЕДНИХ ПОЛЕЙ В ТУРБУЛЕНТНОЙ СРЕДЕ

А. А. Быков, В. Ю. Попов

(кафедра математики)

Выведены приближенные выражения для скорости дрейфа переходного слоя и времени жизни нестационарной контрастной структуры в задаче генерации магнитного поля в турбулентной среде.

## Введение

В соответствии с общепринятыми представлениями магнитное поле в спиральных галактиках создается за счет действия процесса галактического динами [1, 2]. При этом часть кинетической энергии хаотического движения проводящего вещества преобразуется в энергию магнитного поля. В тонком галактическом диске вектор магнитного поля может быть представлен в виде  $\mathbf{B} = \mathbf{b}(\mathbf{r})u(\mathbf{r}, t)$ . Векторная функция  $\mathbf{b}(\mathbf{r})$  задает направление магнитного поля, а скалярная функция  $u(\mathbf{r}, t)$  определяет напряженность. Функция  $u(\mathbf{r}, t)$  определяется из уравнения диффузии, в котором присутствуют дополнительные члены, отвечающие за перенос поля вместе с движением вещества и генерацию:

$$u_t + \mathbf{V} \nabla u = \mu \Delta u + \gamma(u)u. \quad (1)$$

Если плотность энергии магнитного поля оказывается сравнимой со средней плотностью кинетической энергии, коэффициент размножения  $\gamma(u)$  становится равным нулю, поэтому выражение для коэффициента размножения  $\gamma(u) = \gamma_0(1 - u^2/U^2)$  можно принять в качестве достаточно хорошей аппроксимации, если не учитывать в (1) другие эффекты, и в частности нелокальный перенос поля за счет выхода силовых линий за пределы галактического диска. Для типичных галактик (например, M51 и M81)  $\mu$  практически равно 0,0016, если измерять время в миллиардах лет, расстояние в килопарсеках. Коэффициент генерации  $\gamma_0$  порядка 2–5 [3, 4]. Характерный размер неоднородностей крупномасштабного магнитного поля  $\delta = \sqrt{\mu/\gamma_0}$  примерно на два порядка меньше диаметра диска, поэтому уравнение (1) проявляет специфические свойства *уравнений с малым параметром* при старших производных и его решение относится к классу функций, которые принято называть *контрастными структурами* [5, 6].

Контрастные структуры (КС) — это своеобразные конфигурации, которые могут образовываться в процессе эволюции физических полей различной природы в нелинейном режиме. В КС обширные области медленного изменения поля (мы их для краткости называем пятнами) разделяются малыми по объему областями быстрого его изменения. Большой интерес с теоретической и практической точек зрения представляют КС, образующиеся в результате ограничения поля определенным уровнем насыщения, как это

имеет место для магнитного поля в спиральной галактике. В типичной ситуации положительное или отрицательное поле возрастает по модулю до уровня насыщения, а на границе положительного и отрицательного полей образуется тонкий *внутренний переходный слой* (ВПС), внутри которого поле меняет знак. Переходный слой медленно перемещается в результате совместного действия диффузии, переноса, генерации. В настоящее время детально изучены стационарные КС и разработаны методы анализа их устойчивости [5–7]. В то же время наблюдения галактик и компьютерный эксперимент [3, 4] убеждают в существовании *долгоживущих* нестационарных КС, которые в процессе эволюции могут постепенно трансформироваться в стационарное состояние или разрушаться. Законы эволюции неустойчивых КС практически не изучены. Эволюция КС определяется конфигурацией пятен различной полярности, неоднородностью уровня насыщения, кривизной ВПС и т.д.

Цель настоящей работы — исследовать влияние соотношения размеров пятен КС различной полярности на время жизни неустойчивых нестационарных контрастных структур магнитного поля в спиральных галактиках. Мы вычислим приближенно скорость дрейфа ВПС и время жизни КС с заданной начальной конфигурацией. Поскольку уравнение (1) адекватно описывает не только магнитное поле в спиральных галактиках, но и поле в турбулентной проводящей среде, некоторые задачи химической кинетики, динамику популяций и т.д., полученные далее результаты имеют достаточно общий характер.

## 1. Одномерная модель

Рассмотрим одномерную по пространству задачу Коши для уравнения диффузии с переносом и размножением:

$$\frac{\partial u}{\partial t} = \mu \frac{\partial^2 u}{\partial x^2} + \gamma(u)u, \quad -\infty < x < \infty, \quad t > 0, \quad (2)$$

$\gamma(u) = \gamma_0(1 - u^2/U^2)$ , с начальными условиями  $u(x, 0) = u_0(x)$  и граничными условиями при  $|x| \rightarrow \infty$ , обеспечивающими ограниченность решения на всей прямой. Пусть в начальный момент времени в среде имеется хаотическое мелкомасштабное магнитное поле, напряженность которого много

меньше уровня насыщения,  $|u_0| \ll U$ . За счет диффузионного члена мелкомасштабные неоднородности  $u_0(x)$  будут быстро сглажены, и функция  $u(x, t)$  примет вид набора хаотически расположенных пятен положительной и отрицательной полярности. Затем за счет процесса генерации величина  $u$  внутри пятен вырастет до величины, несколько меньшей уровня насыщения  $U$ , на границе пятен положительной и отрицательной полярности образуется ВПС, после чего конфигурация решения в целом может быть описана как КС. В дальнейшем каждый ВПС перемещается, причем направление движения, вообще говоря, таково, что узкие пятна уменьшаются, а широкие увеличиваются.

Проведя линейную замену переменных  $x, t$  и функции  $u$ , приведем уравнение (2) к безразмерному виду:

$$\frac{\partial u}{\partial t} = \delta^2 \frac{\partial^2 u}{\partial x^2} + u(1 - u^2), \quad (3)$$

где  $\delta = \sqrt{\mu/\gamma_0}$  — толщина ВПС. Сначала рассмотрим стационарные решения типа КС.

## 2. Стационарные контрастные структуры

Напряженность поля в стационарной одномерной КС можно найти из уравнения  $\delta^2 d^2 u / dx^2 + u(1 - u^2) = 0$ . Точное решение выражается через неполный эллиптический интеграл первого рода

$$F(\phi, k) = \int_0^\phi (1 - k^2 \sin^2 \phi)^{-1/2} d\phi;$$

$$\frac{x - x_0}{\delta} = \frac{\sqrt{2}}{a} F(\phi, k), \quad (4)$$

$$\phi = \arcsin\left(\frac{u}{b}\right), \quad k = \frac{b}{a},$$

$x_0$  — координата центра ВПС,  $a = \sqrt{1 + \sqrt{1 - C}}$ ,  $1 \leq a < 2$ ,  $b = \sqrt{1 - \sqrt{1 - C}}$ ,  $0 \leq b < 1$ , константа  $C$  определяет наклон кривой  $u(x)$  в центральной точке:  $(du/dx)_{x=x_0} = (1/\delta)\sqrt{C/2}$ .

Если  $0 < C < 1$ , то  $u(x)$  — периодическая функция, период  $T$  равен

$$T = \delta \frac{4\sqrt{2}}{a} K\left(\frac{b}{a}\right), \quad (5)$$

где  $K(k) = F(\pi/2, k)$  — полный эллиптический интеграл первого рода. Величина  $T$  лежит в пределах  $2\pi\delta < T < \infty$ , причем  $T \rightarrow \infty$  при  $C \rightarrow 1$ ,  $C < 1$  и  $T \rightarrow 2\pi\delta$  при  $C \rightarrow 0$ ,  $C > 0$ . Максимальное значение  $u_{\max} = b$  достигается при  $x - x_0 = T/4$ , минимальное значение  $u_{\min} = -b$  при  $x - x_0 = 3T/4$ .

Пусть ширина положительного пятна  $W = T/2$  много больше  $\delta$  и соответственно  $1 - C \ll 1$ , так что  $k \approx 1$ . Используем асимптотическое разложение эллиптического интеграла для случая  $k < 1$ ,  $k \rightarrow 1$ :

$K(k) = \ln\left(4/\sqrt{1 - k^2}\right)$  [8]. Подставляя это выражение в (5), получим приближенное выражение для  $W$ :

$$W = \frac{T}{2} = \frac{\delta}{\sqrt{2}} \ln \frac{64}{1 - C}. \quad (6)$$

Полезно определить диапазон изменения параметров в (6), в пределах которого можно использовать эти соотношения, не нарушая условий существования периодического решения. Минимально допустимое значение  $C$  можно вычислить из соотношения для минимально возможного периода  $T_{\min} = 2\pi\delta$ . Соответствующее значение  $C_{\min} = 1 - 64e^{-\sqrt{2}\pi} \approx 0,246$ .

В критическом случае  $C = 1$ ,  $u(x)$  — монотонная функция, обращающаяся в нуль в одной точке  $x = x_0$ :

$$u = \operatorname{th}\left(\frac{1}{\sqrt{2}} \frac{x - x_0}{\delta}\right). \quad (7)$$

В соответствии с общепринятой классификацией это решение относится к КС типа «ступенька» [7]. Если  $C > 1$ , то решение не ограничено и не представляет интереса.

## 3. Квазистационарные контрастные структуры

Квазистационарная одномерная КС состоит из последовательности пятен чередующейся полярности (положительной и отрицательной), разделенных ВПС, при этом начальная ширина каждого пятна много больше толщины ВПС. Чтобы оценить время жизни нестационарной КС, рассмотрим эволюцию периодической системы положительных и отрицательных пятен,  $u(x + T, t) = u(x, t)$ , причем у положительного пятна начальная ширина несколько больше, чем у отрицательного. В пределах одного периода  $u(x, t)$  образуются два ВПС, каждый из которых будет медленно дрейфовать в сторону более узкого пятна, в результате чего ширина положительного пятна будет увеличиваться, а изначально меньшая ширина отрицательного пятна будет уменьшаться. Когда ширина пятна становится сравнимой с толщиной ВПС, происходит лавинообразное разрушение КС, которая на этом этапе уже не является квазистационарной.

Возможны разные режимы эволюции КС с широкими ( $W > \pi\delta$ ) пятнами обоих знаков. Рассмотрим только сильно асимметричные КС, для которых ширина положительного пятна много больше ширины соседних с ним отрицательных пятен. Предположим, что *внутри ВПС*,  $x_0 - \delta < x < x_0 + \delta$ , в каждый фиксированный момент времени функцию  $u(x, t)$  можно приблизенно описать выражением (7), причем координата центральной точки будет медленно перемещаться с некоторой скоростью  $v(t)$ , которая зависит от ширины каждого из пятен:  $u(x, t) = f(x - vt)$ ,  $x_0 - \delta < x < x_0 + \delta$ . Предположим, что выражение (4), определяющее стационарное периодическое решение, можно использовать и для непериодического нестационарного решения *вне ВПС*, т. е. для положительного и отрицательного пятна *по отдельности*. Для каждого из них будем использовать разные значения константы  $C$ ,

которая теперь будет функцией  $t$  (каждое из этих значений мало отличается от критического значения  $C = 1$ ). Соответствующие значения параметров  $a, b$  также будут отличаться. Ширину положительного и отрицательного пятен обозначим  $W^{(+)}(t)$  и  $W^{(-)}(t)$ , причем  $W^{(+)}(t) + W^{(-)}(t) = T$ . Таким образом, внутри одного периода КС выделены три области, в которых решение представляется разными формулами.

Вычислим скорость дрейфа ВПС. Проинтегрируем (3) по интервалу  $x_0 - W^{(-)}/2 < x < x_0 + W^{(+)}/2$ , который включает в точности один ВПС. Используя условие  $\pi\delta \ll W^{(-)} \ll W^{(+)}$ , получим  $v \approx -\delta \cdot 8\sqrt{2} \exp\{-\sqrt{2}W^{(-)}/\delta\}$ . Так как уменьшение ширины отрицательного пятна обусловлено одновременным дрейфом двух ВПС навстречу друг другу с равными скоростями, ширину отрицательного пятна можно найти из дифференциального уравнения  $dW^{(-)}/dt = -2v$ . Нетрудно получить *точное* решение этого уравнения:  $W^{(-)}(t) = \delta \cdot 2^{-1/2} \ln[-32(t - t_0)]$ . Выберем  $t_0$  так, чтобы в этот момент времени ширина отрицательного пятна была равна половине критического значения периода  $W^{(-)}(t_0) = \pi\delta$ :  $t_0 = (e^{\sqrt{2}\pi})/32 \approx 2,657$ . Учитывая, что в используемом приближении ширина каждого из пятен не может быть меньше  $\pi\delta$ , момент времени  $t_0$  можно интерпретировать как момент перехода от медленной стадии эволюции КС к ее лавинообразному расширению. Теперь выражение для зависимости ширины пятна от времени приобретает вид, пригодный для сравнения с компьютерным экспериментом:

$$W(t) = \delta \cdot 2^{-1/2} \ln\left(-32t + e^{\sqrt{2}\pi}\right). \quad (8)$$

Здесь  $t \leq 0$ , и момент времени  $t = 0$  соответствует полному разрушению КС. Соотношение (8) можно использовать и для вычисления времени жизни КС с заданной начальной шириной пятна отрицательной полярности  $W$ :

$$t = \frac{1}{32} \left[ \exp\left\{\sqrt{2}\pi\right\} - \exp\left\{\sqrt{2}\frac{W}{\delta}\right\} \right]. \quad (9)$$

Предполагается, что в начальный момент времени ширина положительной полярности много больше  $W$ . То же самое выражение можно, очевидно, использовать и для времени жизни уединенного пятна с начальной шириной  $W$ , так как этот случай можно получить предельным переходом  $W = \text{const}$ ,  $T \rightarrow \infty$ .

Поскольку напряженность магнитного поля удовлетворяет уравнению весьма общего вида (3), полученные оценки для скорости дрейфа и времени жизни применимы к широкому классу задач, в которых некоторое физическое поле  $u(x, t)$  участвует в процессах переноса, диффузии и размножения, причем толщина переходного слоя мала по сравнению с размерами области.

#### 4. Результаты компьютерного моделирования

Для определения пределов применимости формул (9) и (8) мы использовали метод компьютерного моделирования. На рис. 1 показана эволюция несимметричной нестационарной КС, для которой в начальный момент времени  $W^{(-)} = 2,5\pi\delta$  и  $W^{(+)} = 3,5\pi\delta$ . Для простоты мы выбрали параметры  $\mu = 1$ ,  $\gamma_0 = 1$ . Представлена серия «моментальных фотографий» графика  $u(x, t)$  в пределах одного периода. Интервал времени между двумя последовательными снимками  $\Delta t = 50$ . Полное время жизни пятна равно 1650. Координата  $x$  отложена по горизонтальной оси в единицах  $\delta$ . Горизонтальные линии  $u = 1$  и  $u = -1$  соответствуют уровню насыщения. На начальной стадии КС квазистационарна, ВПС медленно перемещается, ширина отрицательного пятна убывает и ширина положительного возрастает. В тот момент, когда ширина более узкого пятна сравнивается с критической ( $W^{(-)} \approx \pi\delta$ ), начинается быстрый процесс разрушения КС.

Зависимость времени жизни асимметричной конфигурации магнитного поля с широким положительным пятном ( $W^{(+)} = 10\pi\delta$ ) от ширины отрицательного пятна показана на рис. 2. По горизонтальной оси отложено отношение ширины отрицательного пятна в начальный момент времени  $W^{(-)}(t_0)$  к критическому значению  $W_0 = \pi\delta$ . Фиксировался момент времени, когда отрицательное пятно полностью исчезает и функция  $u$  в пределах одного периода становится положительной. По вертикальной оси отложен десятичный логарифм времени жизни. Очевидно, что график  $t(W)$  неотличим от прямой линии. Угол наклона по графику рис. 2 определяется из соотношения  $\tan \psi \approx 1,912$ , где  $\tan \psi = (\lg t_2 - \lg t_1)/(W_2/W_0 - W_1/W_0)$ . Приближенная формула (9) дает значение  $\tan \psi = \pi\sqrt{2}/\ln 10 \approx 1,92952$ . Таким образом, погрешность, даваемая формулой (9), составляет  $\sim 1\%$ ,

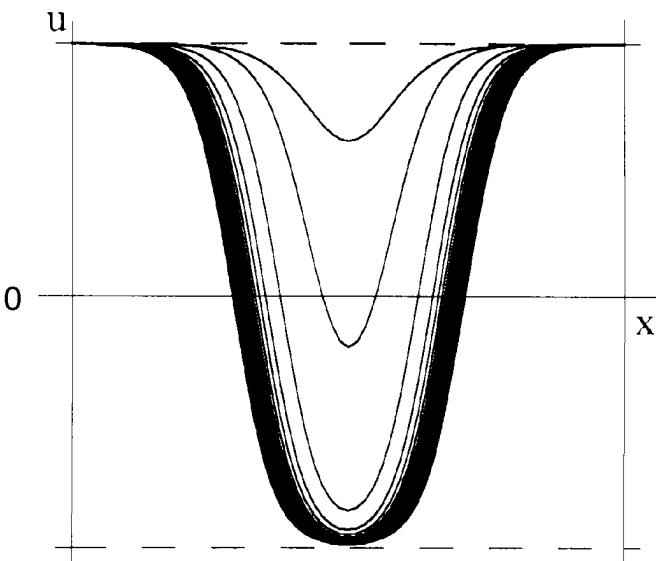


Рис. 1. Эволюция несимметричной контрастной структуры: начальная ширина отрицательного пятна  $W^{(-)} = 2,5\pi\delta$ , положительного —  $W^{(+)} = 3,5\pi\delta$

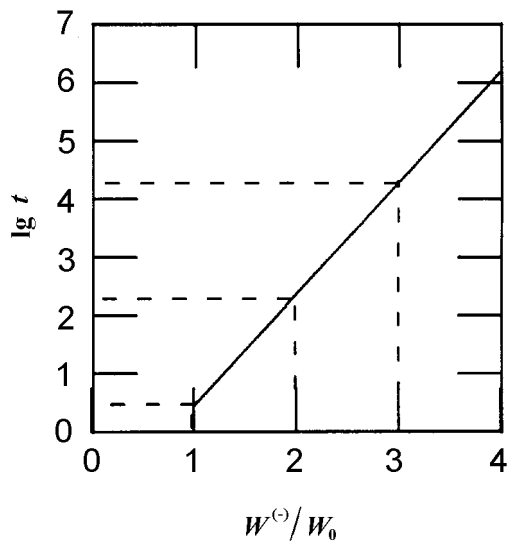


Рис. 2. Время жизни  $t$  контрастной структуры с заданной шириной пятна как функция отношения ширины пятна в начальный момент времени  $W^{(-)}(t_0)$  к критическому значению  $W_0 = \pi\delta$ .

поэтому приближенными формулами для скорости дрейфа ВПС и времени жизни КС можно пользоваться не только для случая широких пятен КС, но и при менее жестких ограничениях:  $W^{(+)} \gg W^{(-)}$ ,  $W^{(-)} > \pi\delta$ . Более подробный анализ результатов компьютерного моделирования показывает, что погрешность формулы для времени жизни не превышает 1%. Из рис. 2 видно, что КС живет практически бесконечно большое время:  $t > 10000$ , если ширина обоих пятен (положительного и отрицательного) превышает критическую ширину  $\pi\delta$  не менее чем в три раза. Если ширина пятна превышает критическую только в два раза, время жизни КС уменьшается в 30 раз. Наконец, пятно с толщиной порядка критической разрушается практически мгновенно. Эти результаты подтверждают предположение о лавинообразном характере процесса разрушения КС на поздней стадии, которая начинается, когда толщина пятна становится сравнимой с критическим значением.

Оценим время жизни КС магнитного поля в спиральных галактиках. Типичные параметры [3, 4] (в единицах длины 1 кпк и времени  $5 \cdot 10^8$  лет, галактики M51, M81)  $\mu = 0,0016$ ,  $\gamma_0 = 4$ , толщина ВПС порядка  $\delta = 0,2$  кпк, что примерно в 100 раз меньше радиуса галактики  $d = 20$  кпк. Формула (9) показывает, что в однородной среде с нулевой скоростью вещества ( $\mathbf{V} = 0$ ) трудно ожидать наличия контрастных образований размером меньше  $2\pi \cdot 0,2$  кпк  $\approx 1,2$  кпк (время их жизни меньше времени одного оборота галактики), но вполне возможно существование КС размером порядка  $d \geq 1$  кпк. Разумеется, направленное крупномасштабное движение вещества, которое в спиральных галактиках представлено дифференциальным вращением, приведет к более быстрому разрушению контрастных пятен магнитного поля за счет вытягивания и истончения, но рассмотрение этого эффекта выходит за рамки данной работы.

Работа поддержана Российским фондом фундаментальных исследований (гранты 95-01-01284а и 98-01-00356).

Авторы благодарны А. Б. Васильевой, В. Ф. Бутузову, Д. Д. Соколову и А. Шукрову за полезные обсуждения.

#### Литература

1. Krause F., Рэдлер К.-Х. Магнитная гидродинамика средних полей и теория динамо. М., 1984.
2. Ruzmaikin A.A., Shukurov A.M., Sokoloff D.D. Magnetic Fields of Galaxies. Dordrecht: Kluwer Acad. Publ., 1988.
3. Poezd A.D., Shukurov A.M., Sokoloff D.D. // Month. Not. of RAS. 1993. **264**. P. 285.
4. Beck R., Brandenburg A., Moss D. et al. // Astron. Astrophys. 1996. **34**. P. 153.
5. Васильева А.Б., Бутузов В.Ф. Асимптотические методы в теории сингулярных возмущений. М., 1990.
6. Васильева А.Б. // Матем. моделирование. 1991. **3**, № 4. С. 114.
7. Васильева А.Б. // ЖВМ и МФ. 1995. **35**, № 4. С. 520.
8. Янке Э., Эмде Ф., Леш Ф. Специальные функции. М., 1968.

Поступила в редакцию  
17.04.98

УДК 530.12

## ГРАВИТАЦИОННОЕ ПОЛЕ ПЛОСКОЙ ЭЛЕКТРОМАГНИТНОЙ ВОЛНЫ В ТЕОРИИ ГРАВИТАЦИИ ВИССЕРА

М. М. Карецкий

(кафедра квантовой теории и физики высоких энергий)

Найдено новое точное решение уравнений теории гравитации с массивным гравитоном в случае, когда источником гравитационного поля является плоская электромагнитная волна.

Можно ли присвоить гравитону массу? Имеет ли вообще смысл говорить о массивном гравитоне? Такие вопросы ставит Виссер (Visser) в своей работе [1]. Как известно из общей тео-

рии относительности Эйнштейна, гравитон должен быть безмассовым. Но астрофизические данные допускают [2] существование гравитона с массой  $m_g < 2 \cdot 10^{-29}$  эВ  $\approx 2 \cdot 10^{-38} m_{\text{nucl}} \approx 3 \cdot 10^{-66}$  кг.